

Kolony pro polární analyty

Martina Riesová

VIZE 2021, 23.11.2021 Hotel Hermitage Praha & stream

Agenda

- Polar molecules

Náplň příspěvku bude upravena

- Chrc

dle dotazníkového šetření

- Reversed phase: What works and what doesn't

- Mixed Mode: Overview, Retaining polar acidic molecules

- HILIC



Nyní bych si dal/dala:

11:50

- a) Oběd
- b) Pivo
- c) Povídání o Waters kolonách

Nyní bych si dal/dala:

11:50

- a) Oběd
- b) Pivo
- c) Povídání o Waters kolonách

5 %



OBĚD

2%



PIVO

93%



POVÍDÁNÍ

Vím už, co je MaxPeak HPS Premier technologie?

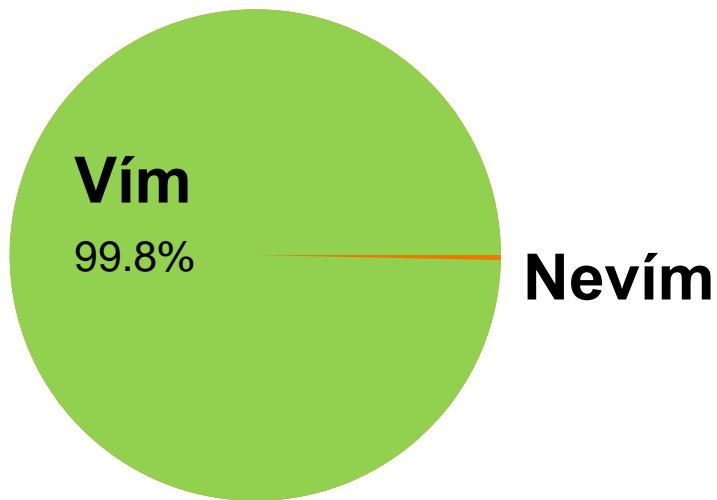
a) Vím

b) Nevím

Vím už, co je MaxPeak HPS Premier technologie?

a) Vím

b) Nevím



Pro své polární analyty bych volil/volila:

a) RP

b) Mixed-mode

c) HILIC

Pro své polární analyty bych volil/volila:

a) RP

18%

b) Mixed-mode

23%

c) HILIC

59%

C18

- Vhodné parametry kolony
- Co funguje/nefunguje

C18 & aniontová výměna

- Polární kyselé látky
- Nové BEH 95 Å částice

Z-HILIC kolona

- Vlastnosti
- Co umí



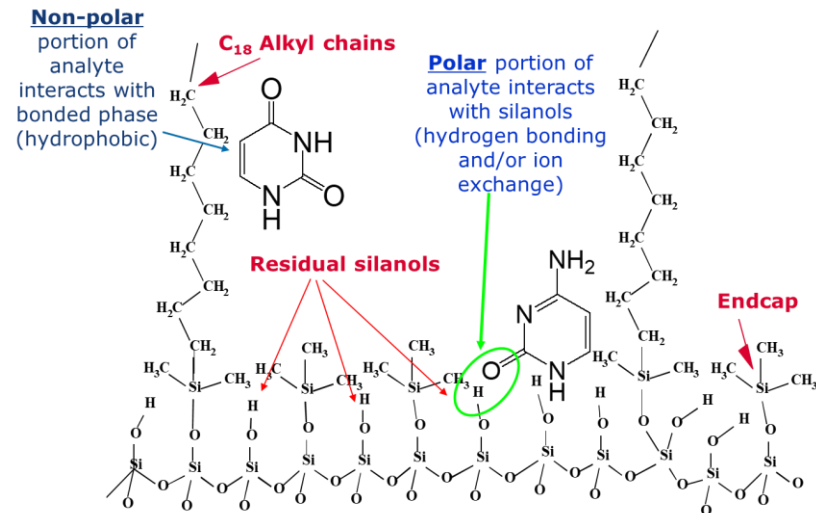
Retence polárních látek na RP (C18)

- K zadržení polární látky na nepolární stacionární fázi musíme snížit podíl organiky v MF

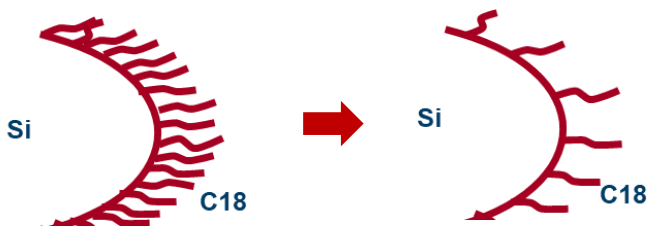
Kompatibilita se 100% vodnou MF

Interakce pro polární látky

silanolová aktivita



Vhodná nižší hustota ligandů



Atlantis T3

Acquity HSS T3
XSelect HSS T3

Cortecs T3

T3 C18
1.6 3.2

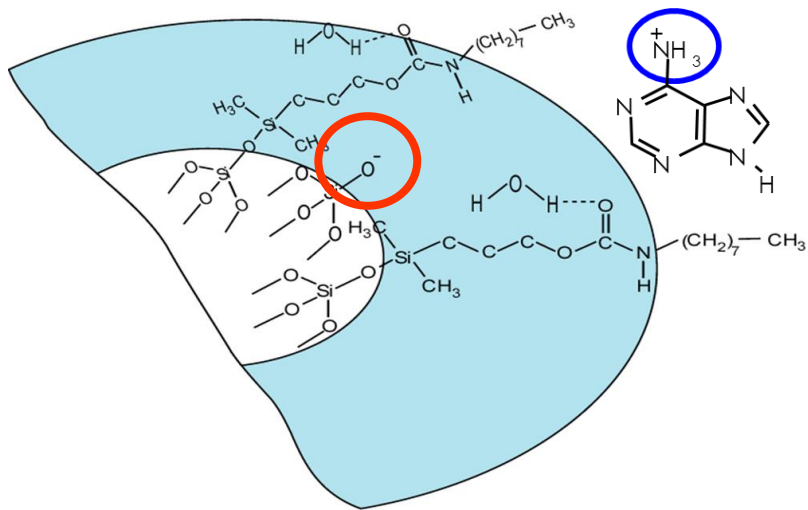
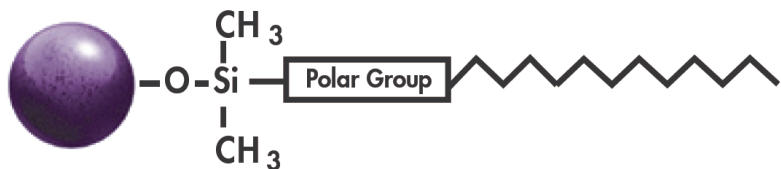
$\mu\text{mol/m}^2$

Atlantis®
Columns

HSS
HIGH STRENGTH SILICA

CORTECS®
COLUMNS

Vložená polární skupina



- ❑ Kompatibilní se 100% vodnou fází
- ❑ Vytvoří se vrstvička vody, která odstíní silanolové skupiny
- ❑ Navrženy pro zlepšení tvaru píků bazických látek
- ❑ Ligandy navázány hustě



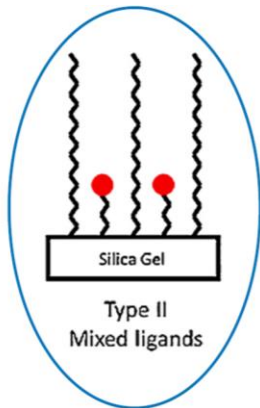
Shield RP18

Vícemodální stacionární fáze

- polární látky – kyseliny
- C18 a kladný náboj

Důležité:

- Vybalancovat příspěvky jednotlivých módů, reprodukovatelnost
- MS kompatibilita – bleeding IEX skupiny – ovlivnění MS signálu
- pH rozmezí (silikagel vs BEH)

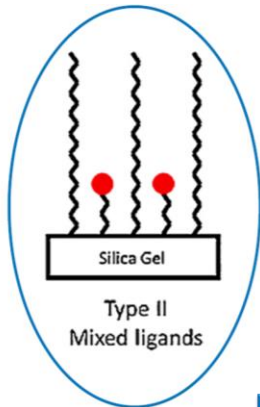


Vícemodální stacionární fáze

- polární látky – kyseliny
- C18 a kladný náboj

Důležité:

- Vybalancovat příspěvky jednotlivých módů, reprodukovatelnost
- MS kompatibilita
- pH rozmezí (silikagel vs BEH)



CSH Charged Surface Hybrid

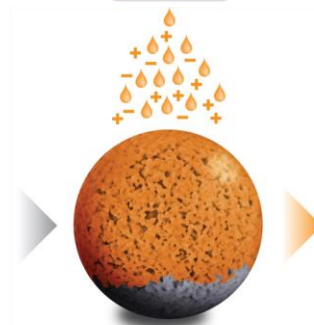
Step 1



Unbonded BEH Particle

Start with the rugged, ultra-efficient, ethylene bridged hybrid (BEH) particle

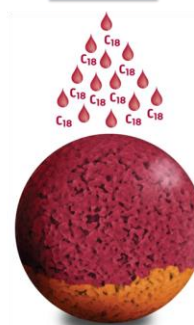
Step 2



Apply Controlled Surface Charge

Add reproducible low-level charge to particle surface

Step 3



Bond and End Cap

Functionalize with appropriate bonded phase chemistry

Atlantis Premier BEH C18 AX

- BEH částice 95Å (větší retentivita)



terciární amin
pKa ~ 8

100% vodná fáze MS kompatibilní

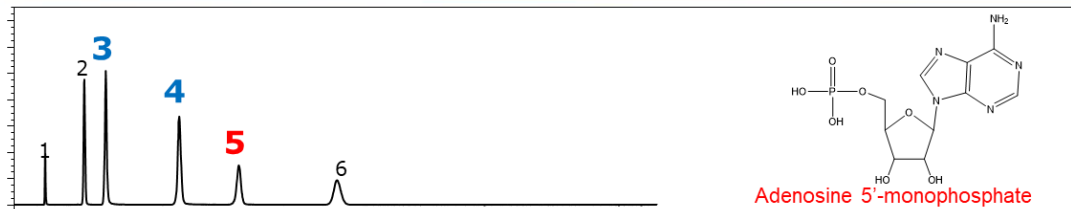


MAXPEAK™
HIGH PERFORMANCE SURFACES



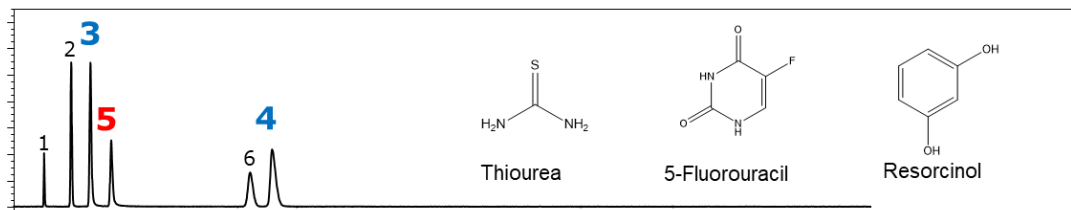
Material	BEH130	BEH95	HSS
Surface Area (m ² /g)	185	270	236
Pore Volume (cm ³ /g)	0.70	0.72	0.73
Pore Diameter (Å)	130	95	100
Phase Ratio (m ² /cm ³)	120	180	164

Atlantis PREMIER
BEH C₁₈ AX 1.7 μm

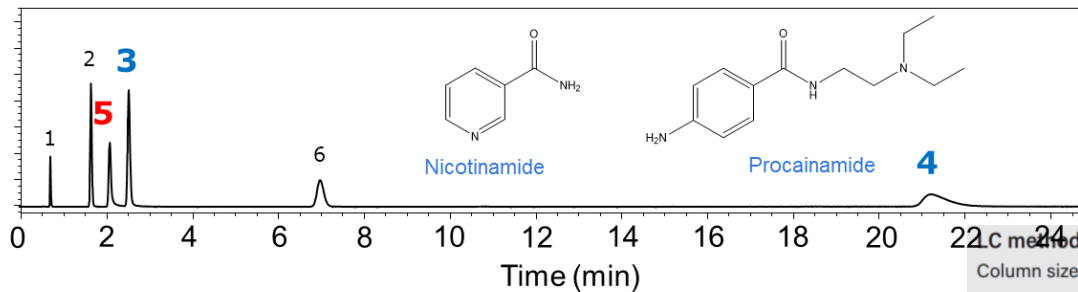


- 1) Thiourea
- 2) 5-Fluorouracil
- 3) Nicotinamide
- 4) Procainamide
- 5) Adenosine 5'-monophosphate
- 6) Resorcinol

ACQUITY UPLC
CSH C₁₈ 1.7 μm



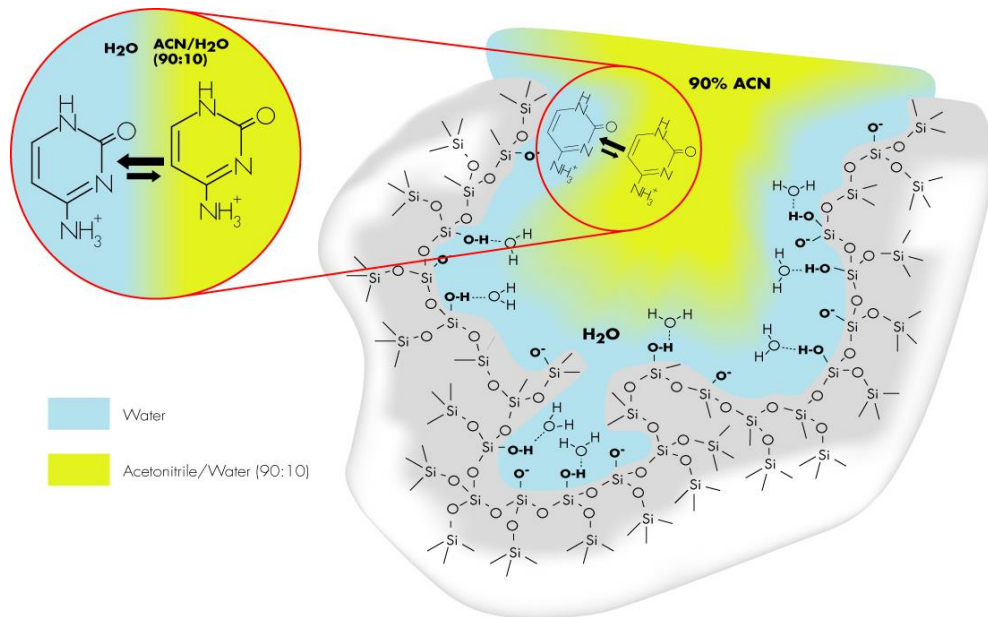
ACQUITY UPLC
HSS T3 1.8 μm



UPLC method conditions

Column size:	2.1 × 50 mm
Column temp.:	30 °C
Injection volume:	1.5 μL
Flow rate:	0.2 mL/min
Mobile phase:	10 mM ammonium formate pH 3.00 (aq)
UV detection:	254 nm

Vícemodální retenční mechanismus: HILIC



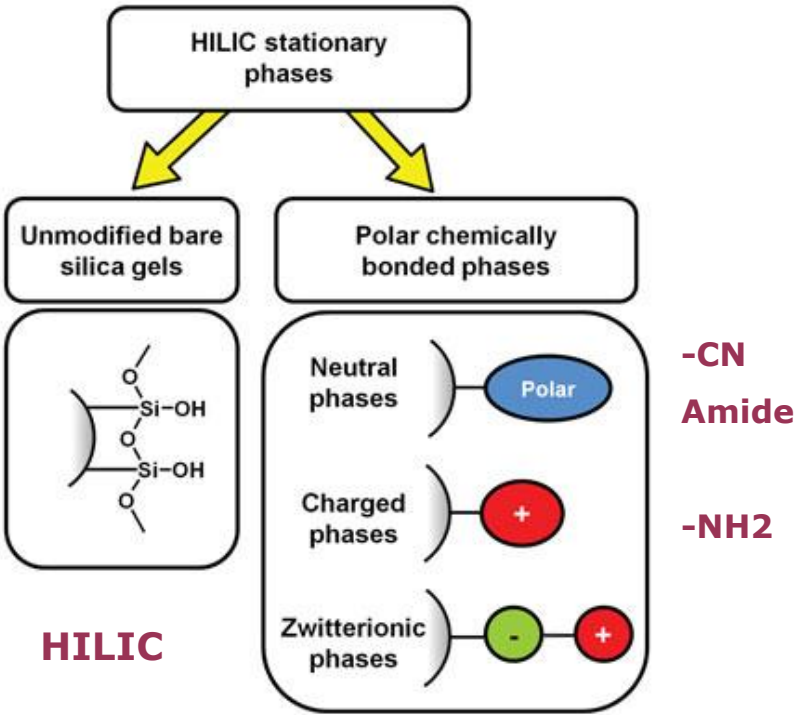
- **Rozdělovací rovnováha** Polární analyty přecházejí mezi mobilní fází a polární vodnou vrstvou znehybněnou na povrchu sorbentu
- **Iontová výměna** Elektrostatické interakce mezi povrchovými silanoly a/nebo funkčními skupinami s nabitým analytem
- **Vodíková vazby**

D.V. McCalley, U. D. Neue, *J. Chromatogr. A* 1192 (2008) 225-229

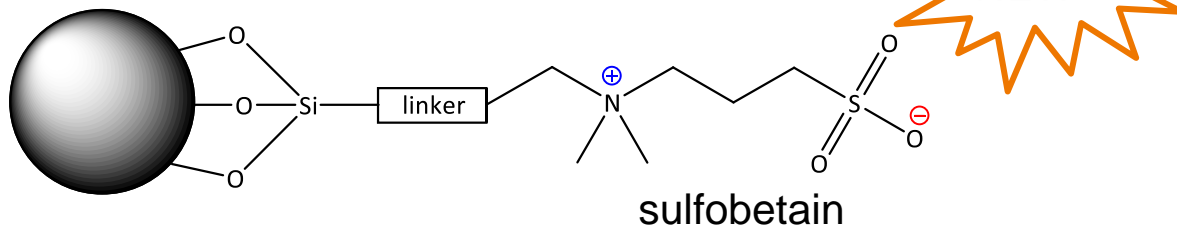
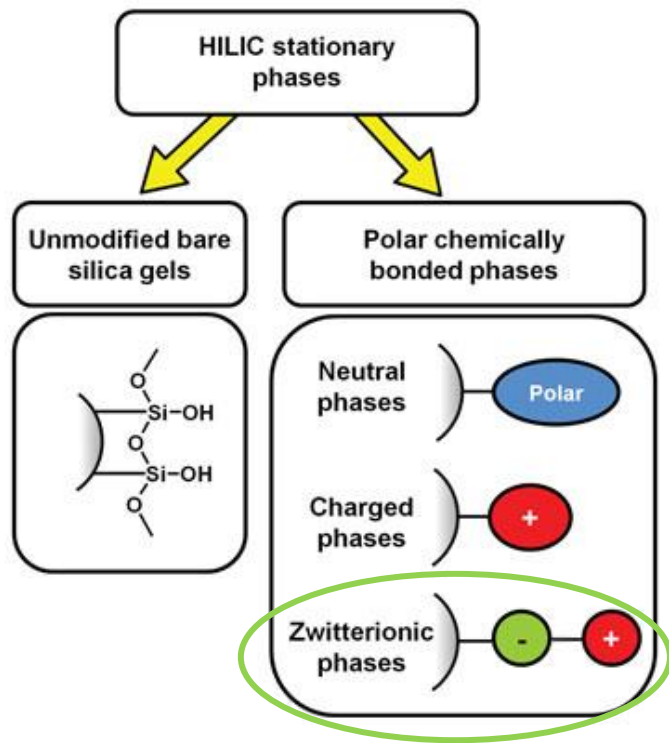
E.S. Grumbach, D.M. Diehl, U.D. Neue, *J. Sep. Sci.* 31 (2008), 1511-1518

A. Méndez, E. Bosch, M. Rosés, U. D. Neue, *J. Chromatogr. A* 986 (2003), 33-44

HILIC stationary phases



HILIC stacionární fáze



Atlantis Premier BEH 95Å Z-HILIC



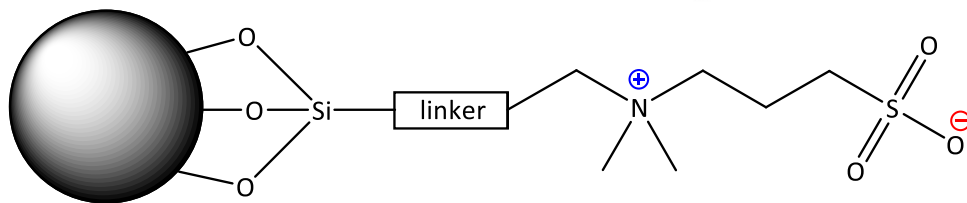
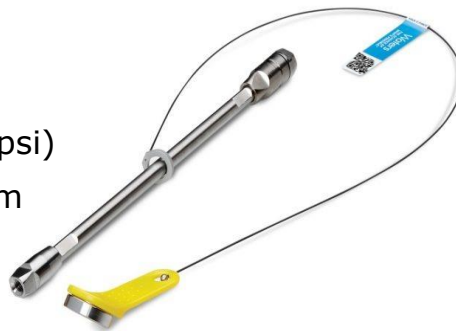
- Stabilita v bazickém pH
 - Silika 2-8, polymerní částice 2-10, **BEH 2-10**
- Nízká výtěžnost analytů citlivých na kov
 - PEEK, **MaxPeak HPS**
- Batch-to-Batch reprodukovatelnost, vázání ligandů

Atlantis Premier BEH 95Å Z-HILIC

Vlastnosti

BEH 95Å částice

- pH i mechanická stabilita (2-10; 18 tis. psi)
- větší retentivita oproti BEH 130Å částicím
- **1.7µm** **2.5µm** **5µm**



Sulfobetainový ligand

- Pozitivní i negativní náboj 1:1
- Celkově neutrální a velmi hydrofilní povrch
- Vytváří "silnou" vodnou vrstvu na povrchu
- Zvýšení retence neutrálních polárních látek vs amidové a "HILIC"
- Alternativní selektivita

MaxPeak HPS

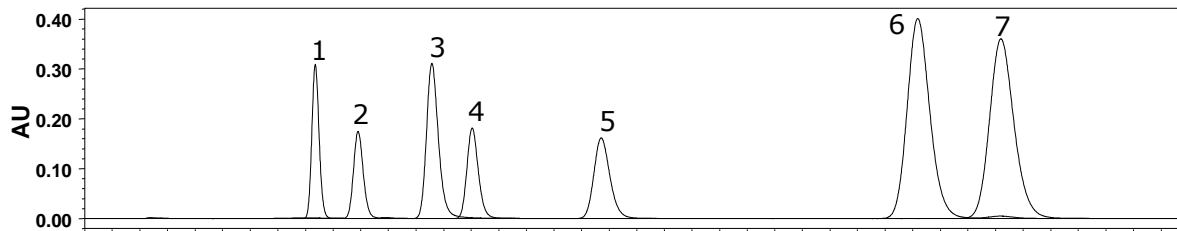
- lepší výtěžnost, tvary píků a citlivost díky minimalizaci interakcí kov-analyt

VanGuard FIT formát

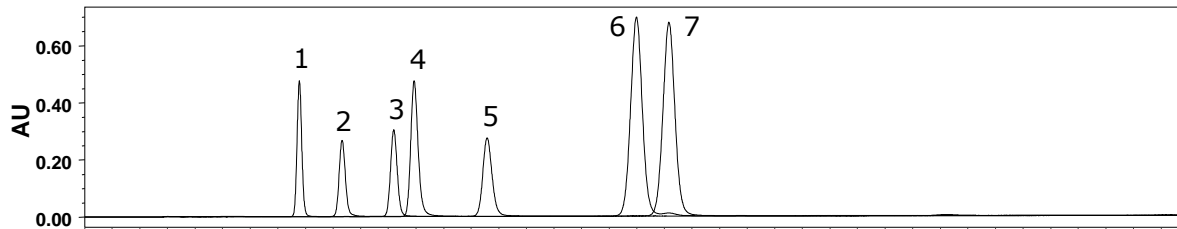
- Zabudovaný držák na ochranné cartridge
- Formáty FIT nebo "column"

Z-HILIC vs HILIC vs Amide

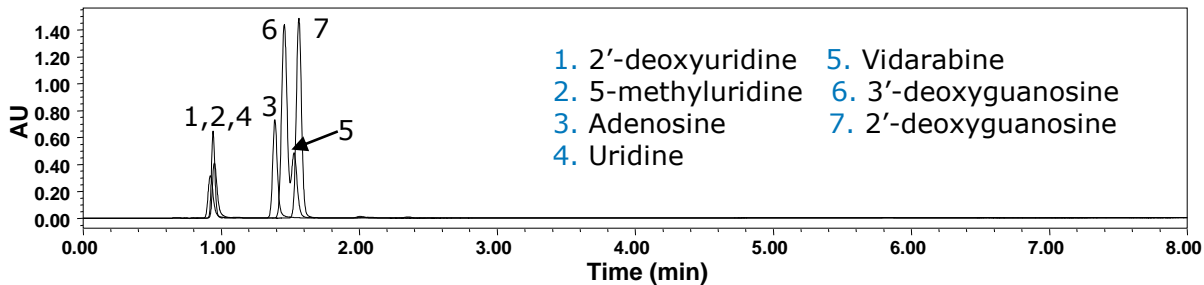
**Atlantis
Premier BEH
Z-HILIC**



**ACQUITY
Premier BEH
Amide**

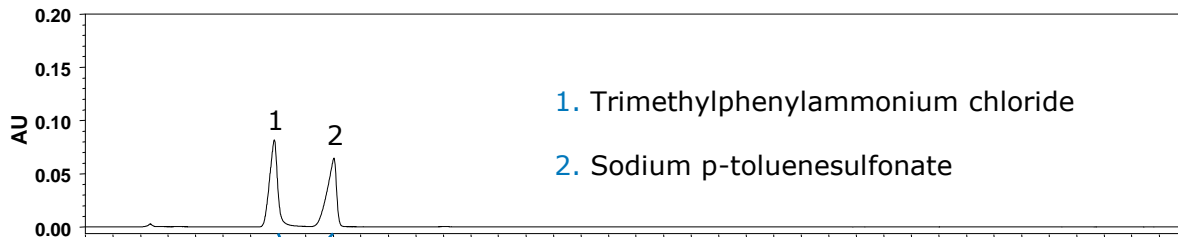


**ACQUITY
BEH HILIC**

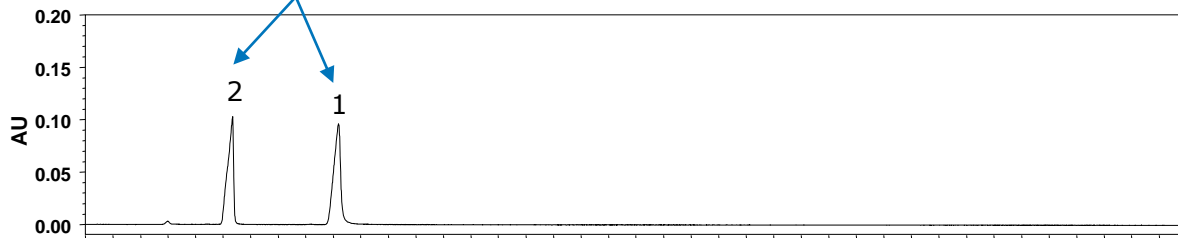


Z-HILIC vs HILIC vs Amide

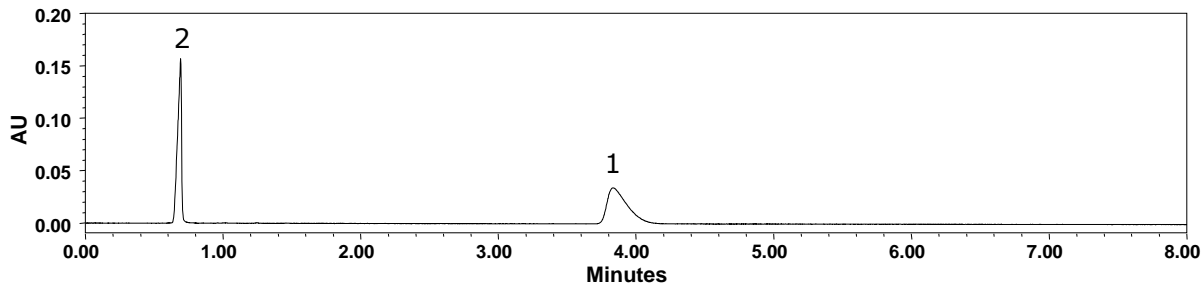
**Atlantis
Premier BEH
Z-HILIC**



**ACQUITY
Premier BEH
Amide**

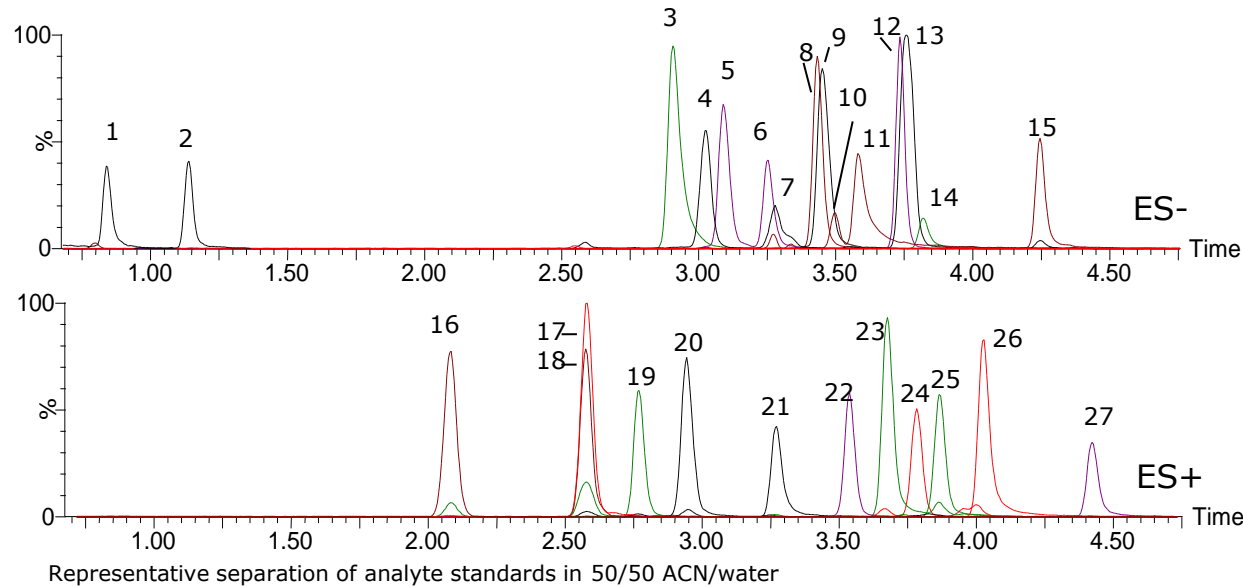


**ACQUITY
BEH HILIC**



Metabolomika

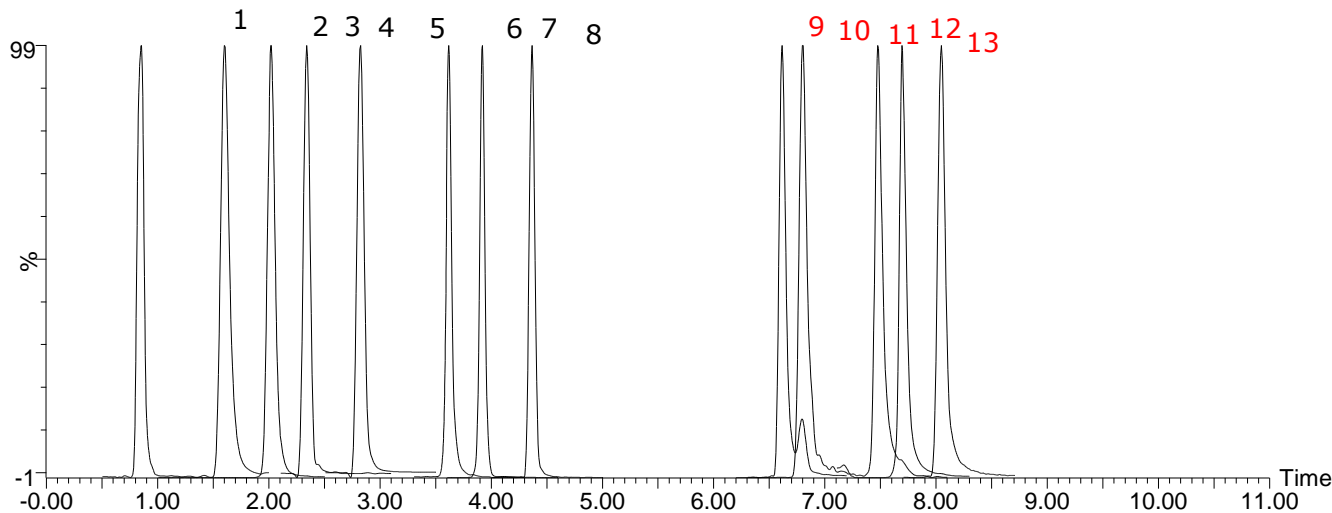
Pentózofosfátový cyklus, Glykolýza and Energetické Metabolity



1	Pyruvic acid
2	Lactic acid
3	Deoxyribose 5-phosphate (DeR5P)
4	Dihydroxyacetone phosphate (DHAP)
5	Ribulose 5-phosphate/Xylulose 5-phosp
6	Ribose 5-phosphate (R5P)
7	Glyceraldehyde 3-phosphate (G3P)
8	Sedoheptulose 7-phosphate (S7P)
9	Fructose 6-phosphate (F6P)
10	2-Phosphoglyceric acid (2PG)
11	3-Phosphoglyceric acid (3PG)
12	Phosphoenolpyruvic acid (PEP)
13	Glucose 6-phosphate (G6P)
14	6-Phosphogluconic acid (6PG)
15	Fructose 1,6-Bisphosphate (FBP)
16	Flavin Adenine Dinucleotide (FAD)
17	Acetyl Coenzyme A (Acetyl CoA)
18	Dihyronicotinamide Adenine Dinucleoti
19	Adenosine Monophosphate (AMP)
20	Nicotinamide Adenine Dinucleotide (NAC
21	Adenosine Diphosphate (ADP)
22	Guanosine Monophosphate (GMP)
23	Adenosine Triphosphate (ATP)
24	Dihyronicotinamide Adenine Dinucleoti
25	Nicotinamide Adenine Dinucleotide Phos
26	Guanosine Diphosphate (GDP)
27	Guanosine Triphosphate (GTP)

- Cílená UPLC/MS/MS metoda pro 27 metabolitů, separace isobarických látek, ostré a symetrické píky
- Optimální pH 9 – BEH částice
- MaxPeak High Performance Surfaces technology

AN: 72007411



1. Uracil
2. Adenine
3. Adenosine
4. Uridine
5. Cytosine
6. Guanine
7. Cytidine
8. Guanosine
9. Adenosine Monophosphate
10. Uridine monophosphate
11. Ribose phosphate
12. Cytidine Monophosphate
13. Guanosine Monophosphate

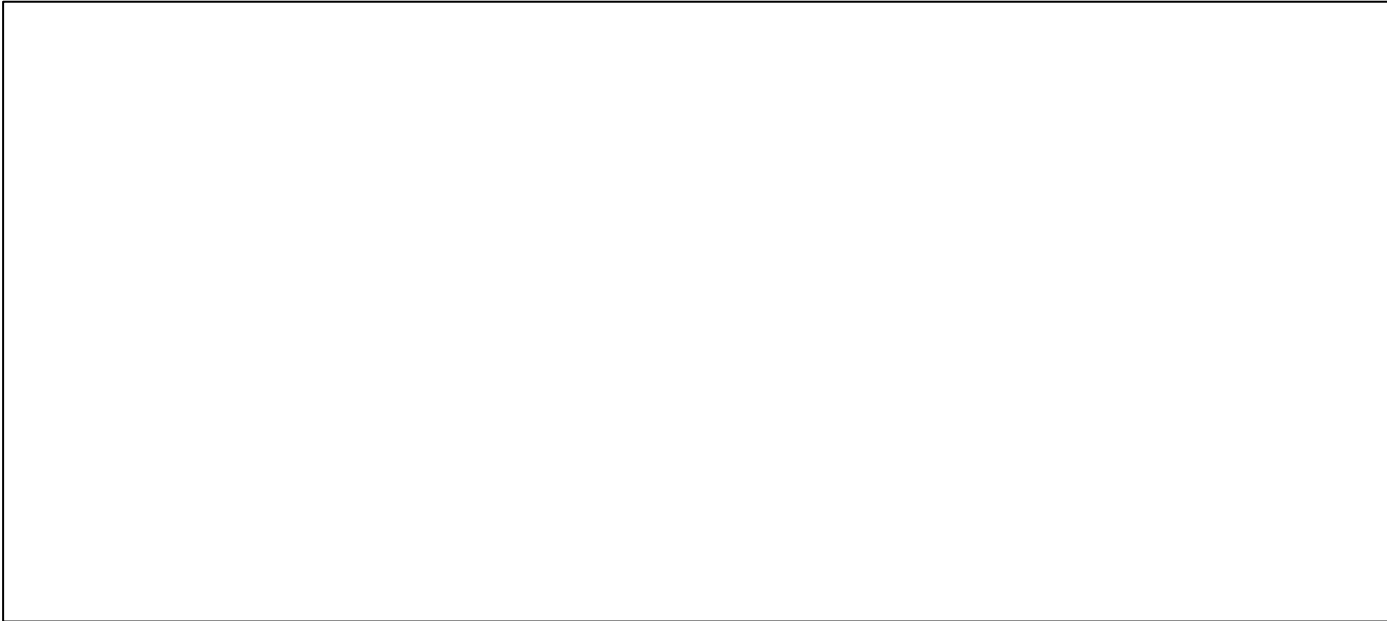
*Lepší rozlišení
a tvary píků*

- Vylepšená separace 13 biologicky relevantních a strukturně podobných RNA komponent
- MaxPeak High Performance Surface poskytuje lepší tvary píků fosforylovaných nukleotidů
- Rychlá analýza

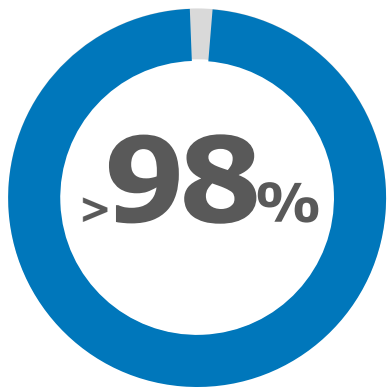
AN: 720007324

Click to add title

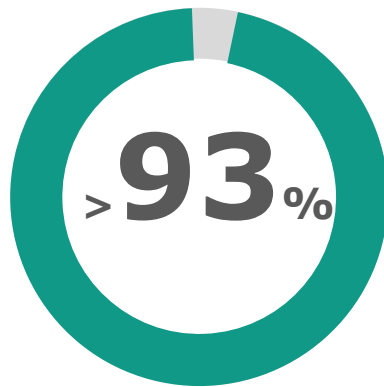
- Click to add text



“Covid” statistika **Spotřební materiál**



TOP 50 PN#



Dalších 400 PN#



Dostupnost ?

- Plastová platíčka
- QuanRecovery
- Filtry (Pall)



**Děkuji Vám za
pozornost**



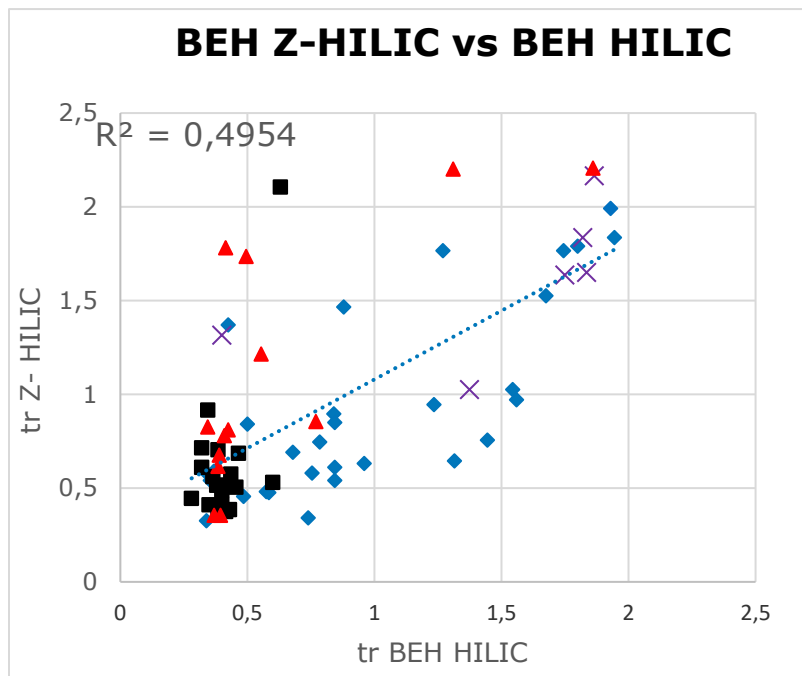


Waters

THE SCIENCE OF WHAT'S POSSIBLE.™

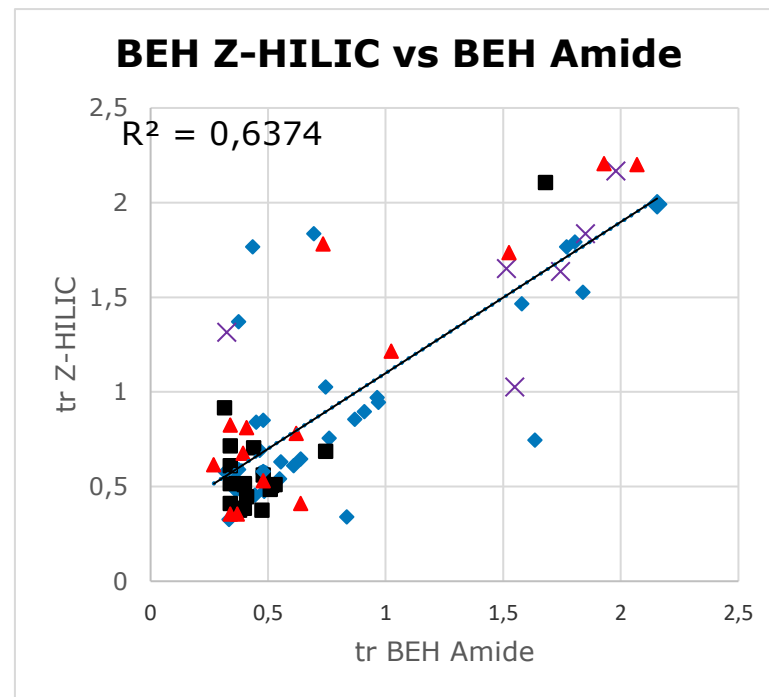
Column Selectivity Comparison

82 Small Molecule Pharmaceutical Compounds



$$S = 100 * \sqrt{1 - R^2} = 71$$

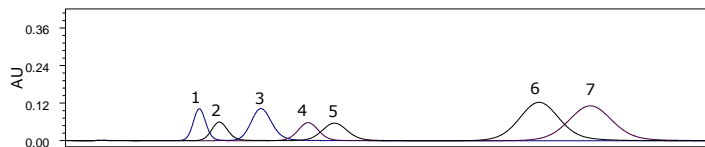
- ◆ bases/cations
- ▲ zwitterions
- ▲ acids/anions
- uncharged
- ✕
-



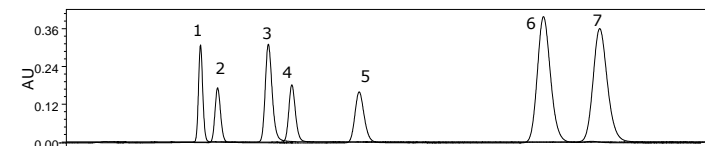
$$S = 60$$

Competitive Sulfobetaine Columns Comparison

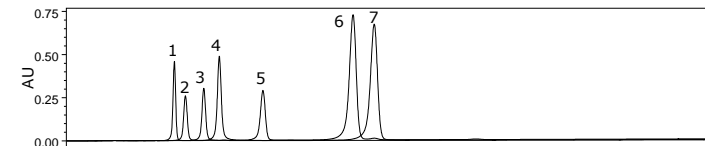
Merck
ZIC-pHILIC
5 µm



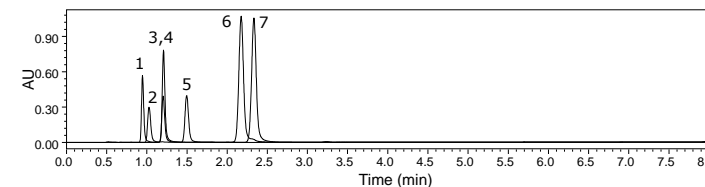
Waters
Atlantis Premier
BEH Z-HILIC
1.7 µm



Thermo
Synchronis HILIC
1.7 µm



Agilent
POROSHELL
HILIC-Z
1.9 µm



Similar
retention and
selectivity

1. 2'-deoxyuridine
2. 5-methyluridine
3. Adenosine
4. Uridine
5. Vidarabine
6. 3'-deoxyguanosine
7. 2'-deoxyguanosine

